

## *E. coli*에서 탄수화물원에 따른 Lactococcal $\beta$ -galactosidase의 발현

류현주 · 장지윤 · 이형주<sup>1</sup> · 김정환<sup>2</sup> · 정대균<sup>3</sup> · 이종훈<sup>4</sup> · 장해춘\*  
조선대학교 식품영양학과, <sup>1</sup>서울대학교 식품공학과, <sup>2</sup>경상대학교 식품공학과,  
<sup>3</sup>경희대학교 유전공학과 및 유전공학연구소, <sup>4</sup>경기대학교 식품생물공학과

**Induction of Lactococcal  $\beta$ -Galactosidase in *E. coli*.** Ryu, Hyun Ju, Ji Yun Chang, Hyong Joo Lee<sup>1</sup>, Jeong Hwan Kim<sup>2</sup>, Dae Kyun Chung<sup>3</sup>, Jong Hoon Lee<sup>4</sup>, and Hae Choon Chang\*. Department of Food and Nutrition, Chosun University, Kwangju 501-759. <sup>1</sup>Department of Food Science and Technology, Seoul National University, Suwon 441-744, <sup>2</sup>Department of Food Science and Technology, Gyeongsang National University, Chinju 669-701, <sup>3</sup>Institute and Department of Genetic Engineering, Kyung Hee University, Suwon 449-701, <sup>4</sup>Department of Foods and Biotechnology, Kyonggi University, Suwon 442-760, Korea -The structural  $\beta$ -galactosidase gene (*lacZ*) from *Lactococcus lactis* ssp. *lactis* 7962 was cloned into plamid vector pKF18, which was designated as pKF-gal. Expression of the *lacZ* from *L. lactis* 7962 was found to be higher when cells were grown at 30 °C than 37 °C. Maximum  $\beta$ -galactosidase activity was obtained when *E. coli*/pKF-gal was cultivated for 6 hr at 30 °C and for 3 hr at 37 °C, and *L. lactis* 7962 was grown for 8 hr at 30 °C. Enzyme induction was achieved by the addition of lactose, galactose, or lactose+IPTG to growing culture. The addition of glucose had no effect on enzyme induction.

**Key words :** induction,  $\beta$ -galactosidase, *L. lactis* ssp. *lactis* 7962, *E. coli*

오랜 세월 동안 미생물에서의  $\beta$ -galactosidase는 유도효소의 발현체계를 연구하는데 모델로 이용되어 왔다. Jacob와 Mond[14]가 *E. coli*로부터의  $\beta$ -galactosidase는 유도효소(inducible enzyme)이며 이 효소의 합성은 유전적 조절에 의하여 이루어진다는 가설을 내세운 이래 광범위하게 생화학적, 유전학적 연구가 가장 많이 잘 이루어져 왔다[17, 31]. 그 이후 다른 많은 미생물에서의  $\beta$ -galactosidase도 lactose 하에서 균을 배양하면 유도 효과(inducible)를 나타낸다는 보고들이 있었다[1, 3, 6, 13, 15, 16, 21, 24, 25, 29].

Bacteria에서 lactose의 대사경로는 크게 두 가지 경로로 나눌 수 있는데, 첫째는  $\beta$ -galactoside permease에 의해 lactose가 세포 내로 이동되고 이것이  $\beta$ -galactosidase에 의하여 glucose와 galactose로 가수분해된다는 것이고, 둘째는 lactose phosphoenolpyruvate-dependent phosphotransferase system(PEP-PTS)에서 phospho- $\beta$ -galactosidase(p- $\beta$ -gal)에 의하여 lactose가 glucose와 galactose-6-phosphate로 분해되는 경로이다[8]. Lactococci나 lactobacilli와 같은 낙농 유산균은 lactose를 일차적 에너지원으로 이용한다. 이때 대부분의 이들 미생물은 PEP-PTS를 통한 후자의 방법(p- $\beta$ -gal)을 주로 사용하며, 이에 대한 생화학적, 유전학적 조절 체계 등에 대하여서는 잘 알려져 있다[2, 23]. 이에 반해  $\beta$ -galactosidase permease에 의한 전자의 방법( $\beta$ -gal)은 낙농유산

균에서는 아주 드문 경우이기 때문에, 낙농 유산균으로부터의  $\beta$ -galactosidase에 대한 생화학적 유전학적 연구 보고 역시 적은 편이다. 최근까지 보고된 바로는 고온성균인 *Streptococcus thermophilus*, lactobacilli로써 homofermentative인 *L. bulgaricus*와 *L. helveticus*, heterofermentative인 *S. brevis*와 *L. buchneri*에 관한 보고로 정리할 수 있다[11, 12, 26]. 전통적으로 발효유제품에서 중요한 starter strain인 중온성 lactococci에서는 거의 대부분 p- $\beta$ -galactosidase에 의한 lactose 대사체계를 갖고 있다. 그러나 특이하게 이 중 *L. lactis* 7962만은  $\beta$ -galactosidase 역가를 지니고 있으며 [5, 9], 본 연구팀은 이 7962 균주로부터  $\beta$ -galactosidase의 유전자를 cloning하고 그 DNA 염기서열을 밝혀 보고한 바 있다[4, 19]. 이와 아울러 본 연구에서는 7962의 structural  $\beta$ -galactosidase gene(pKF-gal)을  $\beta$ -galactosidase의 역가가 없는 *E. coli*에서 발현시켜, 탄수화물 배지원에 따른  $\beta$ -galactosidase의 유도효과 및 배양온도와 배양시간에 따른  $\beta$ -galactosidase의 역가 차이를 알아보고자 하였다. 즉 모균주인 *L. lactis* ssp. *lactis* 7962와 더불어 pKF-gal을 지닌 *E. coli* 형질전환주를 각기 다른 탄수화물원, 배양시간 및 온도에서 배양하여, 이 때의  $\beta$ -galactosidase에 대한 유도효과에 대하여 알아보고자 한다.

*L. lactis* ssp. *lactis* 7962[9]는 American Type Culture Collection(Rockville, Md)으로부터 구입하여 사용하였다. 균주의 계대는 30°C, M17 배지에서[28] 0.5%(w/v) glucose (M17-G) 또는 0.5%(w/v) lactose(M17-L)를 포함한 배지에

\*Corresponding author

Tel. 82-62-230-7345, Fax. 82-62-234-4326

E-mail: hcchang@mail.chosun.ac.kr

서 행하였다. Cloning vector는 kanamycin 저항성을 지니는 pUC계열 vector인 pKF18[7]을 사용하였다.  $\beta$ -Galactosidase 발현을 위한 형질전환에는 *E. coli* JM109[30]를 숙주세포로 사용하였다. *L. lactis* ssp. *lactis* 7962의 *lac* operon 중  $\beta$ -galactosidase(*lacZ*)유전자의 양 끝에 *Sal*I 과 *Pst*I site를 PCR에 의하여 만들어준 단편[18]을 pKF18[10] vector의 *Sal*I 과 *Pst*I site에 삽입하여 pKF-gal(pKF18+*lacZ*=5,246 bp)을 재구성하여, *E. coli* JM109에 Sambrook 등[27]에 의한 방법으로 형질전환시켰다. *L. lactis* 7962의 *lacZ* 유전자를 지닌 pKF-gal을 지닌 *E. coli* 형질전환체의 확인은 LB[20] 배지에 kanamycin(50 mg/ml), 5-bromo-4-chloro-3-indoly- $\beta$ -D-galactoside(X-gal, 40  $\mu$ g/ml)와 0.2 mM isopropyl- $\beta$ -D-thiogalactopyranoside(IPTG)를 첨가한 배지에서 푸른색 colony를 형성하는 것으로 하였다. 푸른색 colony는 alkaline lysis 방법[27]에 의하여 plasmid를 추출하여 7962의 *lacZ* 유전자의 삽입을 확인하였다. 동시에 이 형질전환주의  $\beta$ -galactosidase역가는 Miller 방법[22]을 사용하여 7962의 *lacZ*가 들어 있지 않는 *E. coli* JM109의 대조군과 함께 그 형질발현( $\beta$ -galactosidase 역가 발현)을 확인하였다(data not shown).

pKF-gal을 지닌 *E. coli* JM109는 50  $\mu$ g/ml의 kanamycin이 첨가된 LB 배지에서 30°C와 37°C에서 각각 진탕 배양하였다. 이때 각각의 탄수화물원에 따른  $\beta$ -galactosidase의 역가를 알아보기 위하여 동배지에 2%(w/v) glucose, 2%(w/v) galactose, 2%(w/v) lactose, 0.2 mM IPTG, 그리고 2% lactose와 0.2 mM IPTG를 첨가한 각각의 배지에서 *E. coli* 형질전환주를 배양하였다. 모든 배양은 Km(50  $\mu$ g/ml)을 첨가한 각각의 배지에서 하룻밤 전배양을 실시한 후, 각각의 50 ml배지에 전배양액을 1%접종하여 12시간 동안 배양하였다. 이때 매 3시간마다 그때의 cell양과  $\beta$ -galactosidase의 역가를 측정하였다.

모균주인 *L. lactis* 7962의 배양은 기본배지로는 M17배지를 사용하였으며, 이때 0.5%(w/v) glucose, 0.5%(w/v) galactose, 0.5%(w/v) lactose, 0.2 mM IPTG, 그리고 0.5% lactose+0.2 mM IPTG를 기본배지인 M17에 첨가한 배지를 각각 전배양과 본배양시 사용하였다. 7962의 배양은 위 배지조건하에서 30°C에서 각각 정치 배양하였으며, 총 12시간동안 매 4시간마다의 cell양과  $\beta$ -galactosidase의 역가를 측정하였다.

$\beta$ -Galactosidase의 역가는 Miller의 방법[22]을 약간 변형하여 사용하였다. 배양이 끝난 균체는 Sorval SS-34 rotor를 사용하여 4°C, 5,000 rpm으로 10분간 원심분리하여 균체만을 모은 후 Z완충액(60 mM  $\text{Na}_2\text{HPO}_4$ , 40 mM  $\text{NaH}_2\text{PO}_4$ , 10 mM KCl, 1 mM  $\text{MgSO}_4$ , 5 mM  $\beta$ -mercaptoethanol, pH 7.0)에서 2번 씻은 후 현탁하여 1 ml로 만든다. 0.1%(w/v) SDS 50  $\mu$ l와 chloroform 두 방울을 넣고 5초 동안 완전히 섞은 다음 28°C에서 5분 동안 방치시킨다. *o*-nitrophenyl-D-galactopyranoside(ONPG)용액(4 mg/ml)을 200  $\mu$ l 넣고 노

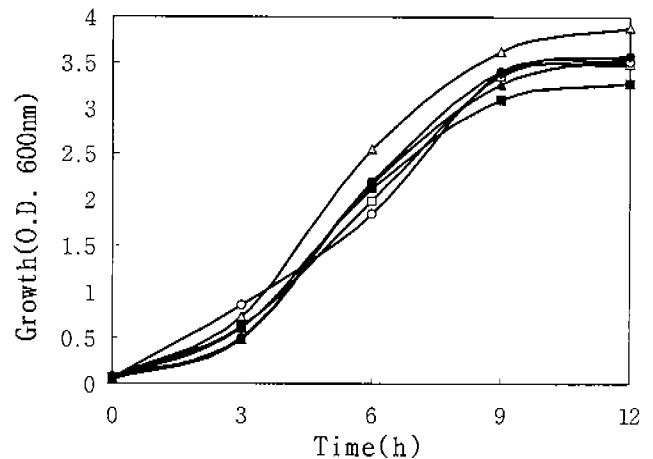


Fig. 1. Growth curve of *E. coli*/pKF-gal at 30°C.

The cell was grown on LB media containing none( $\square$ ), 2% glucose( $\blacksquare$ ), 2% galactose( $\triangle$ ), 2% lactose( $\blacktriangle$ ), 0.2 mM IPTG( $\circ$ ), and 2% lactose+0.2 mM IPTG( $\bullet$ ).

란색이 나타나면 이때의 반응시간을 기록하고, 1 M  $\text{Na}_2\text{CO}_3$  500  $\mu$ l를 넣어 반응을 중지시킨다. 최종 반응물에서 빛을 산란시키는 세포찌기는 원심분리(12,000 $\times$ g, 5분)하여 제거한 후 420 nm에서 흡광도를 재었다.  $\beta$ -Galactosidase 역가는 다음과 같이 계산하였다.

Activity

$$\text{Units} = 1,000 \times \frac{A_{420}}{V \times t \times A_{600}}$$

$A_{420}$ : 420 nm에서 흡광도

$A_{600}$ : 600 nm에서 V의 흡광도

V: 배양액의 총 부피

t: 역가 측정에 소요된 반응시간

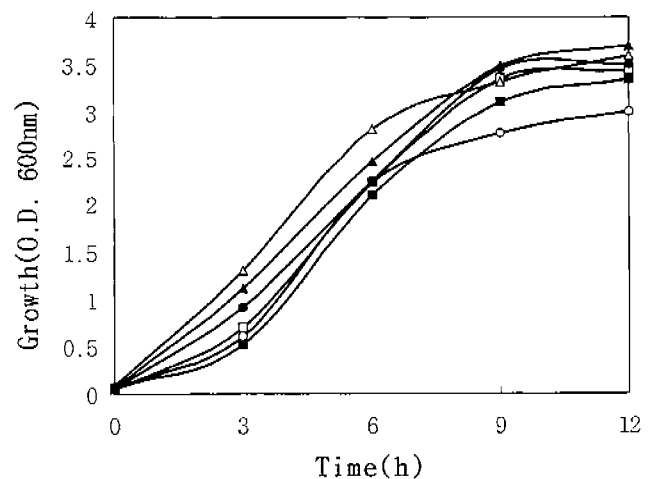
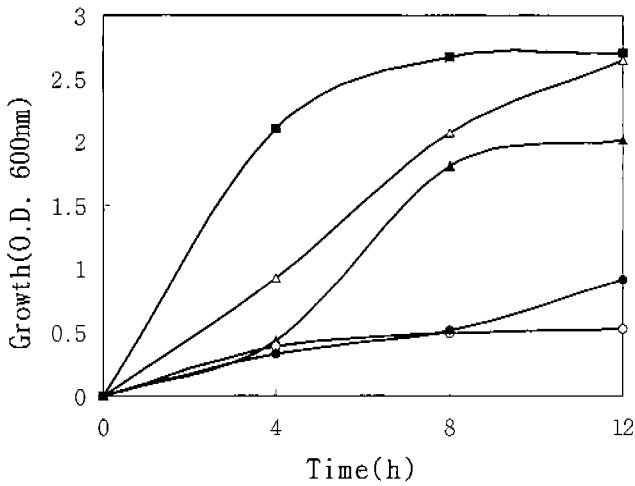


Fig. 2. Growth curve of *E. coli*/pKF-gal at 37°C.

The cell was grown on LB media containing none( $\square$ ), 2% glucose( $\blacksquare$ ), 2% galactose( $\triangle$ ), 2% lactose( $\blacktriangle$ ), 0.2 mM IPTG( $\circ$ ), and 2% lactose+0.2 mM IPTG( $\bullet$ ).

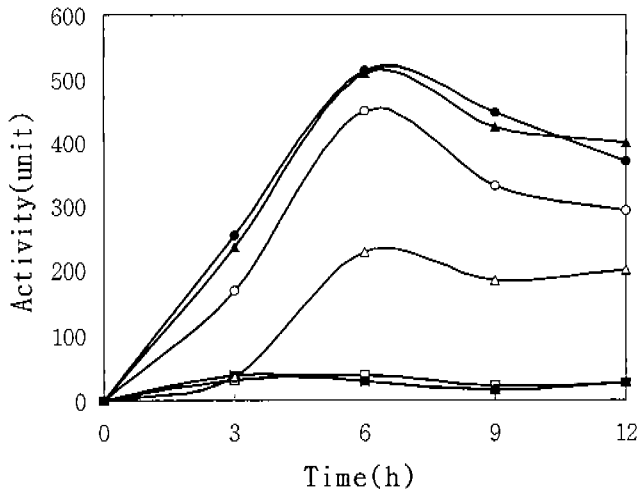


**Fig. 3.** Growth curve of *Lactococcus lactis* ssp. *lactis* 7962 at 30 °C.

The cell was grown on M17 media containing 0.5% glucose(■), 0.5% galactose(△), 0.5% lactose(▲), 0.2 mM IPTG(○), and 0.5% lactose+0.2 mM IPTG(●).

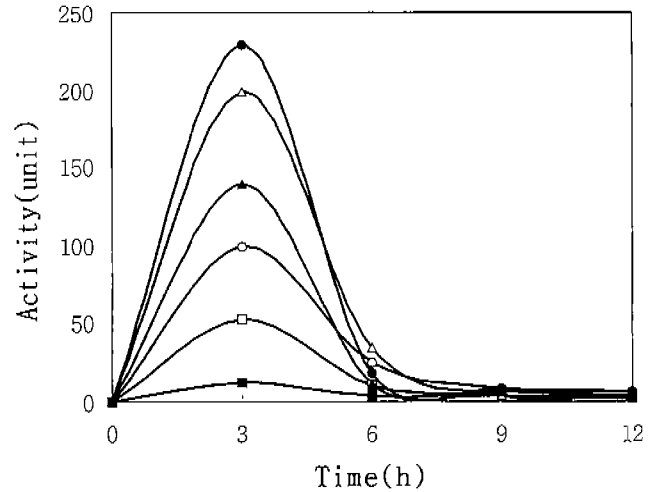
LB기본 배지와 여기에 2% glucose, galactose, lactose, 0.2 mM IPTG, 그리고 0.2 mM IPTG+2% lactose를 첨가한 배지에서 pKF-gal을 지닌 *E. coli* 형질전환주(*E. coli*/pKF-gal)를 30 °C(Fig.1)와 37 °C(Fig.2)에서 각각 배양하였다. 각 배지에서의 생육곡선을 살펴보면, 약 9시간만에 생육정지기에 이르며, 배양온도(30°C와 37 °C)에 따른 균체의 생육 패턴은 별 차이점이 없었다. 다만 37 °C배양이 30 °C배양에서 보다 더 빠른 성장율을 보였으나, 최종 정지기에서는 거의 비슷한 균 성장 양상을 나타내었다.

*L. lactis* ssp. *lactis* 7962를 M17배지를 기본 배지로 하



**Fig. 4.** β-Galactosidase activity from *E. coli*/pKF-gal at 30 °C cultivation.

The cell was grown on LB media containing none(□), 2% glucose(■), 2% galactose(△), 2% lactose(▲), 0.2 mM IPTG(○), and 2% lactose+0.2 mM IPTG(●).



**Fig. 5.** β-Galactosidase activity from *E. coli*/pKF-gal at 37 °C cultivation.

The cell was grown on LB media containing none(□), 2% glucose(■), 2% galactose(△), 2% lactose(▲), 0.2 mM IPTG(○), and 2% lactose+0.2 mM IPTG(●).

고 30 °C에서 0.5% glucose, galactose, lactose, 0.2 mM IPTG 또는 0.2 mM IPTG와 0.5% lactose를 혼합한 배지에서 생육시켰을 때는 탄수화물 영양원에 따라 각기 다른 생육곡선을 나타내었다(Fig. 3). Glucose 배지에서 가장 빠르고 높은 균 성장을 보였으며, 그 다음은 galactose, lactose 배지 순으로 나타났다. Lactose+IPTG나 IPTG를 M17에 첨가한 배지에서는 아주 낮은 성장률을 보였다.

30 °C에서 다양한 탄수화물배지원에 따라 *E. coli*/pKF-gal을 배양하였을 때 발현된 β-galactosidase의 역가를 매 3시간마다 측정하였다(Fig. 4). 30 °C에서 배양된 cell의 β-galactosidase 역가를 살펴보면 전체적으로 대수기 중기에 해당하는 배양시간 6시간째에 최고의 역가를 나타내었으며, 이 시간 이후에는 차츰 감소하여 정지기때는 배양 6시간째의 약 80%정도의 효소 활성을 나타내었다. 탄수화물원에 따른 유도효과는 lactose+IPTG, lactose, IPTG, galactose 순으로 높게 나타났다. 기본배지인 LB 배지나 여기에 glucose를 첨가한 경우에는 아주 낮은 역가를 나타내어, β-galactosidase에 대한 유도효과는 없는 것으로 나타났다.

배양온도가 37 °C인 경우에도 탄수화물배지원에 따라 역가 차이는 있으나 탄수화물원에 상관없이 전체적으로 대수기 초기에 해당하는 배양 3시간째에 최고의 역가를 나타내다가 그 이후에 급격히 역가가 소실되는 패턴으로 나타났다(Fig. 5). 37 °C에서의 탄수화물원에 따른 유도효과는 lactose +IPTG가 역시 가장 컸으며, galactose, lactose, IPTG, LB 기본배지, glucose 순으로 높게 나타났으나, 효소의 역가가 배양시간에 따라 안정되게 유지되지 못하므로 탄수화물원에 따른 유도효과의 차이를 결정하기에는 다소 어려운 듯 하였다.

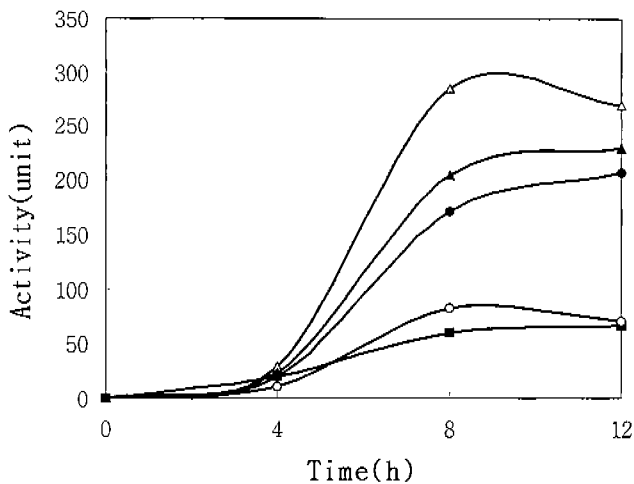


Fig. 6.  $\beta$ -Galactosidase activity from *Lactococcus lactis* 7962 at 30°C cultivation.

The cell was grown on M17 media containing 0.5% glucose (■), 0.5% galactose (△), 0.5% lactose (▲), 0.2 mM IPTG (○), and 0.5% lactose+0.2 mM IPTG (●).

30°C에서 배양한 *L. lactis* 7962의 경우에는 배양 8시간 때에 가장 안정되고 높은 효소역가를 나타내었다가, 그 이후 탄수화물원에 따라 약간 감소하기도 하였으나 비교적 안정되게 그 활성을 유지하였다(Fig. 6). 탄수화물원에 따라서는 galactose가 가장 높은 유도 효과를 나타내었으며, 그 다음으로 lactose, lactose+IPTG, IPTG, glucose 순으로 나타났다.

배양시간과 배양온도에 따른 활성을 살펴보면, *Lactococcus lactis* 7962의  $\beta$ -galactosidase 유전자를 *E. coli*에서 발현시켰을 때(*E. coli*/pKF-gal), 37°C에서 보다 30°C 배양에서 더 높고 안정된 효소 활성을 나타냄을 알 수 있었다(최대 역가 기준; 30°C : 520 units, 37°C : 230 units). 배양시간에 따라서  $\beta$ -galactosidase의 활성은 조금씩 차이가 있어서, *E. coli*/pKF-gal을 30°C 배양시는 6시간 때, 37°C 배양시는 3시간만에 그리고 모균주인 *L. lactis* 7962는 8시간 때에 각각의 cell부터의  $\beta$ -galactosidase는 최대의 활성을 나타내었다. 특히 7962의  $\beta$ -galactosidase를 지닌 *E. coli*를 37°C에서 발현시켰을 때는 배양시간에 따른 역가의 차이가 굉장히 커서, 배양 3시간이 지나고 나면 급격히 그 역가가 떨어지게 나타났다. 균의 성장정도는 30°C, 37°C에서 큰 차이가 없었으나  $\beta$ -galactosidase의 역가는 전체적으로 37°C가 30°C보다 더 낮았으며, 그 역가도 불안정하여 배양시간에 따라 대수기 초기에 잠깐 역가가 나타났다가, 그 이후부터는 급격히 감소함을 알 수 있었다. 이러한 현상은  $\beta$ -galactosidase 발현이 온도에 영향을 받는 것으로 사료되어진다.

본 실험에서는 7962가 지닌 전체 *lac* operon 중 lactose를 glucose와 galactose로 분해하는  $\beta$ -galactosidase 구조 유전자만을 분리하여, *E. coli* JM109에서 발현시켜 다양한 탄

수화물원에 따른 유도효과를 모균주인 *L. lactis*와 비교하여 살펴보았다.

30°C에서 탄수화물원에 따른 유도효과를 살펴보면, 모균주인 7962에서는 galactose가 가장 높은 유도효과를 나타내었고 그 다음은 lactose, lactose+IPTG인데 비하여, 7962의  $\beta$ -galactosidase(*lacZ*) 유전자를 지닌 *E. coli*에서는 lactose+IPTG, lactose, IPTG가 galactose보다 더 높은 유도효과를 나타내었다. Glucose는 모균주인 7962와 *lacZ* 유전자를 지닌 형질전환주인 *E. coli*에서 모두 균 생육은 잘 이루어지나 효소활성에는 아무런 유도효과를 일으키지 못 하는 것으로 나타났다. 이러한 현상은 기존의 다른 연구결과와 일치하는 현상이다. 즉 glucose는 많은 미생물이 선호하는 탄소원이거나 이 균주를 glucose가 있는 배지에서 배양하였을 때 그 균주가 지닌 유도효소는 유도(induce)될 수 없는데 이러한 현상을 carbon catabolite repression이라 한다[20]. 보고에 의하면 이러한 glucose의 저해 현상은 발현되는 미생물에 따라 조금씩 차이가 있어, *E. coli*나 *S. lactis*에서는 심각한 저해를 받으나[5, 20], *Kluyveromyces fragilis*의 경우에는 *E. coli*에서 만큼도 심각하지 않는 것으로 나타났다[7]. 기존의 보고들에 따르면 각 탄수화물원의  $\beta$ -galactosidase에 대한 유도 효과는 균종에 따라 다른데 galactose의 경우 *E. coli*[15]와 *S. sonnei*[6]에서는 그다지 큰 유도효과를 못 일으키나 *S. aureus*에서는 lactose보다도 더 큰 유도효과를 나타내었다[21]. Thiogalactoside인 IPTG는 *E. coli*에서는 효소활성에 효과적인 유도물질로 작용하였으나[13], *K. lactis*[7]나 *S. lactis*[5]에서는 별 효과를 나타내지 못하는 것으로 나타났다. 탄수화물원에 따른 유도효과는 전배양의 탄수화물원에 따라서도 달라질 수 있는데, 7962 균주를 M17-glucose배지에서 전배양을 하고 각각의 다른 탄수화물원에서 본배양을 하여 유도효과를 본 경우[32]와 전배양과 본배양을 동일한 탄수화물원배지에서 배양하여(this study) 탄수화물원에 따른 유도효과를 알아보았을 때 전자는 lactose가 후자는 galactose가 조금씩 높은 것으로 나타났다. 이는 전배양을 통한 대사산물들이 본배양에서의  $\beta$ -galactosidase 발현에 영향을 미칠 수 있음을 시사한다.

본 실험에서의 결과에 따르면 모균주의 전체 *lac* operon 중 *lacZ* 유전자만을 *E. coli*에 옮겨놓았을 경우에 7962의  $\beta$ -galactosidase는 lactose를 glucose와 lactose로 분해하는 역할만 수행하고 나머지 대사 체계는 숙주인 *E. coli*의 체계를 따르므로 모균주인 7962에서는 galactose가  $\beta$ -galactosidase에 대해 가장 유도효과가 컸으나, 이  $\beta$ -galactosidase를 *E. coli*에 옮겨와서 발현시켰을 때는 *E. coli*에서 보다 효율적인 유도물질인 lactose나 IPTG가 galactose보다 그 유도효과가 크게 나타났다. 이는 lactose의 대사가 *lacZ* 구조 유전자에만 의한 것이 아니라 전체 *lac* operon 유전자와 발현되는 숙주세포의 cell permeability 차이 등에 의해 결정되기 때문일 것이다.

## 감사의 글

본 연구는 한국과학재단 특정기초연구비(97-04-02-03-03-3)에 의하여 수행된 연구 결과의 일부이며 이에 감사드립니다.

## REFERENCES

- Anderson, J. M. and H. V. Rickenberg. 1960.  $\beta$ -Galactosidase of *Paracolobacterium aerogenoides*. *J. Bacteriol.* **80**: 297-304.
- Boizet, B., D. Villeval, P. Slos, M. Novel, G. Novel, and A. Mercenier. 1988. Isolation and structural analysis of the phospho- $\beta$ -galactosidase from *Streptococcus lactis* Z268. *Gene* **62**: 249-261.
- Burchhardt, G. and H. Bahl. 1991. Cloning and analysis of the  $\beta$ -galactosidase-encoding gene from *Clostridium thermosulfurogenes* EM1. *Gene* **106**: 13-19.
- Chang, H. C., Y. D. Choi, and H. J. Lee. 1996. Molecular cloning of  $\beta$ -D-galactosidase gene from *Lactococcus lactis* subsp. *lactis* 7962. *J. Microbiol. Biotechnol.* **6**: 386-390.
- Citti, J. E., W. E. Sandine, and P. R. Elliker. 1965.  $\beta$ -Galactosidase of *Streptococcus lactis*. *J. Bacteriol.* **89**: 937-942.
- Clausen, C. R. and M. Nakanamura. 1963.  $\beta$ -Galactosidase of *Shigella sonnei*. *Nature* **197**: 570-573.
- Dickson, R. C. and J. S. Markin. 1980. Physiological studies of  $\beta$ -galactosidase induction in *Kluyveromyces lactis*. *J. Bacteriol.* **142**: 777-785.
- Dills, S. S., A. Apperson, M. R. Schmidt, and M. H. Saier, Jr. 1980. Carbohydrate transport in bacteria. *Microbiol. Rev.* **44**: 385-418.
- Gui, J. E., W. E. Sandine, and P. R. Elliker. 1965.  $\beta$ -Galactosidase of *Streptococcus lactis*. *J. Bacteriol.* **89**: 937-942.
- Hashimoto-Gotoh, T., K. Yasojima, and A. Tsujimura. 1995. Plasmids with a kamamycin-resistance gene for site directed mutagenesis using the oligodeoxyribonucleotide-directed dual amber method. *Gene* **167**: 333-334.
- Hickey, M. W., A. J. Hillier, and G. R. Jago. 1986. Transport and metabolism of lactose, glucose, and galactose in homofermentative *Lactobacilli*. *Appl. Environ. Microbiol.* **51**: 825-831.
- Hutkins, R., H. A. Morris, and L. L. McKay. 1985. Galactose transport in *Streptococcus thermophilus*. *Appl. Environ. Microbiol.* **50**: 772-776.
- Jobe, A. and S. Bourgeois. 1972. *Lac* repressor-operator interaction. VI. The natural inducer of the *lac* operon. *J. Mol. Biol.* **69**: 397-408.
- Jacob, F. and F. Monod. 1961. On the regulation of gene activity. *Cold Spring Harbor Symp. Quant. Biol.* **26**: 93. Cold Spring Harbor Press, Cold Spring Harbor, NY, U.S.A.
- Koppel, J. L., C. J. Porter, and B. F. Croker. 1953. The mechanism of the synthesis of enzymes. I. Development of a system suitable for studying this phenomenon. *J. Gen. Physiol.* **36**: 703-722.
- Landman, O. 1957. Properties and induction of  $\beta$ -galactosidase in *Bacillus megaterium*. *Biochem. Biophys. Acta* **23**: 558-569.
- Langridge, J. 1968. Genetic and enzymatic experiments relating to the tertiary structure of  $\beta$ -galactosidase. *J. Bacteriol.* **96**: 1711-1717.
- Lee, J. M. 1997. Characterization of  $\beta$ -galactosidase gene from *L. lactis* ssp. *lactis* 7962. *M.S. Thesis*. Seoul National University.
- Lee, J. M., D. K. Chung, J. H. Park, W. K. Lee, H. C. Chang, J. H. Kim, and H. J. Lee. 1997. Cloning and nucleotide sequence of the  $\beta$ -galactosidase gene from *Lactococcus lactis* ssp. *lactis* ATCC 7962. *Biotechnol. Letters* **29**: 179-183.
- Magasanik, B. 1970. Glucose effects: Inducer exclusion and repression, pp. 189-219. In J. R. Beckwith and D. Zipser(eds.), *The Lactose Operon*. Cold Spring Harbor Laboratory, Cold Spring Harbor, NY.
- McClatchy, J. K. and E. D. Rosenblum. 1963. Induction of lactose utilization in *Streptococcus aureus*. *J. Bacteriol.* **86**: 1211-1215.
- Miller, J. H. 1972. *Experiment in Molecular Genetics*, pp. 47-55. Cold Spring Harbor Press, Cold Spring Harbor, NY, U.S.A.
- Porter, E. V. and B. M. Chassy. 1988. Nucleotide sequence of the  $\beta$ -D-phosphogalactoside galactohydrolase gene of *Lactobacillus casei*; Comparison to analogous *pbg* genes of other Gram positive organisms. *Gene* **62**: 263-276.
- Priyoldar, M., C. K. K. Nair, and D. S. Pradhan. 1989. Purification and characterization of an inducible  $\beta$ -galactosidase from *Corynebacterium murisepticum*. *Arch. Microbiol.* **151**: 49-53.
- Rickenberg, H. V. 1960. Occurrence of  $\beta$ -galactosidase in the genus *Shigella*. *J. Bacteriol.* **80**: 421-422.
- Romano, A. H., G. Brino, A. Peterkofsky, and J. Reizer. 1987. Regulation of  $\beta$ -galactosidase transport and accumulation in heterofermentative lactic acid bacteria. *J. Bacteriol.* **169**: 5589-5596.
- Sambrook, J., E. Fritsch, and J. Maniatis. 1989. *Molecular Cloning - A Laboratory Manual*, 2nd ed. Cold Spring Harbor Press, Cold Spring Harbor, NY, U.S.A.
- Terzaghi, B. E. and W. E. Sandine. 1975. Improved medium for lactic *Streptococci* and their bacteriophage. *Appl. Environ. Microbiol.* **29**: 803-813.
- Vakil, J. R. and K. M. Shahani. 1962. Different pathways of lactose metabolism of *Streptococcus lactis* and their sensitivity to antibiotics. *J. Dairy Sci.* **45**: 655.
- Yanisch-Perron, C., J. Vierira, and J. Messing. 1985. Improved M13 phage cloning vectors and host strains: Nucleotide sequences of the M13mp18 and pUC19 vectors. *Gene* **33**: 103-119.

- lactose permease protein and thiogalactoside transacetylase, pp. 89–121. In J. Miller and W. S. Reznikoff (eds.), *The Operon*. Cold Spring Harbor Laboratory, Cold Spring Harbor, NY.
32. Vaughan, E. E., R. D. Pridmore, and B. Mollet. 1998.

Transcriptional regulation and evolution of lactose genes in the galactose-lactose operon of *Lactococcus lactis* NCDO 2054. *J. Bacteriol.* **180**: 4893–4902.

(Received January 30, 1999)